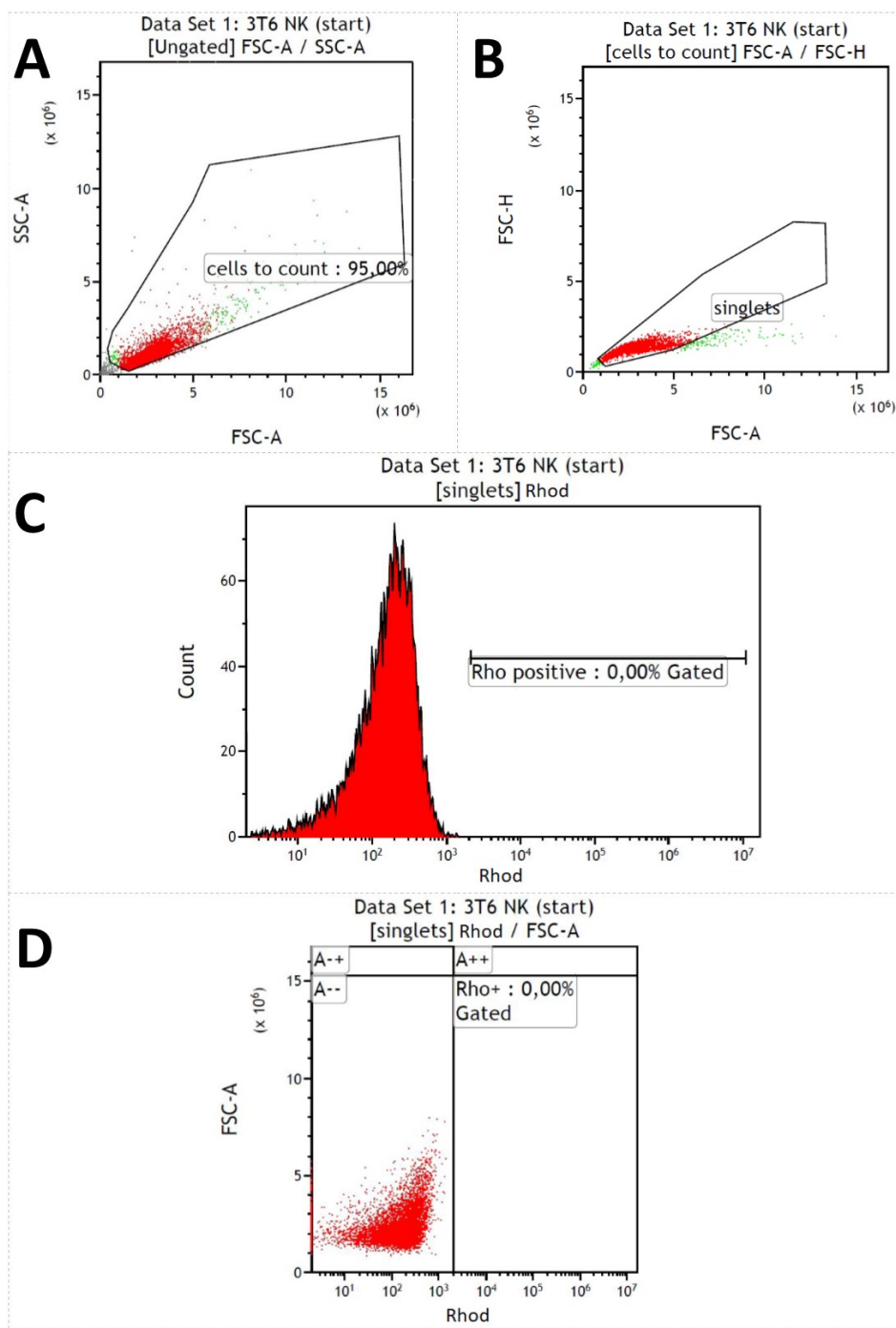


Errata

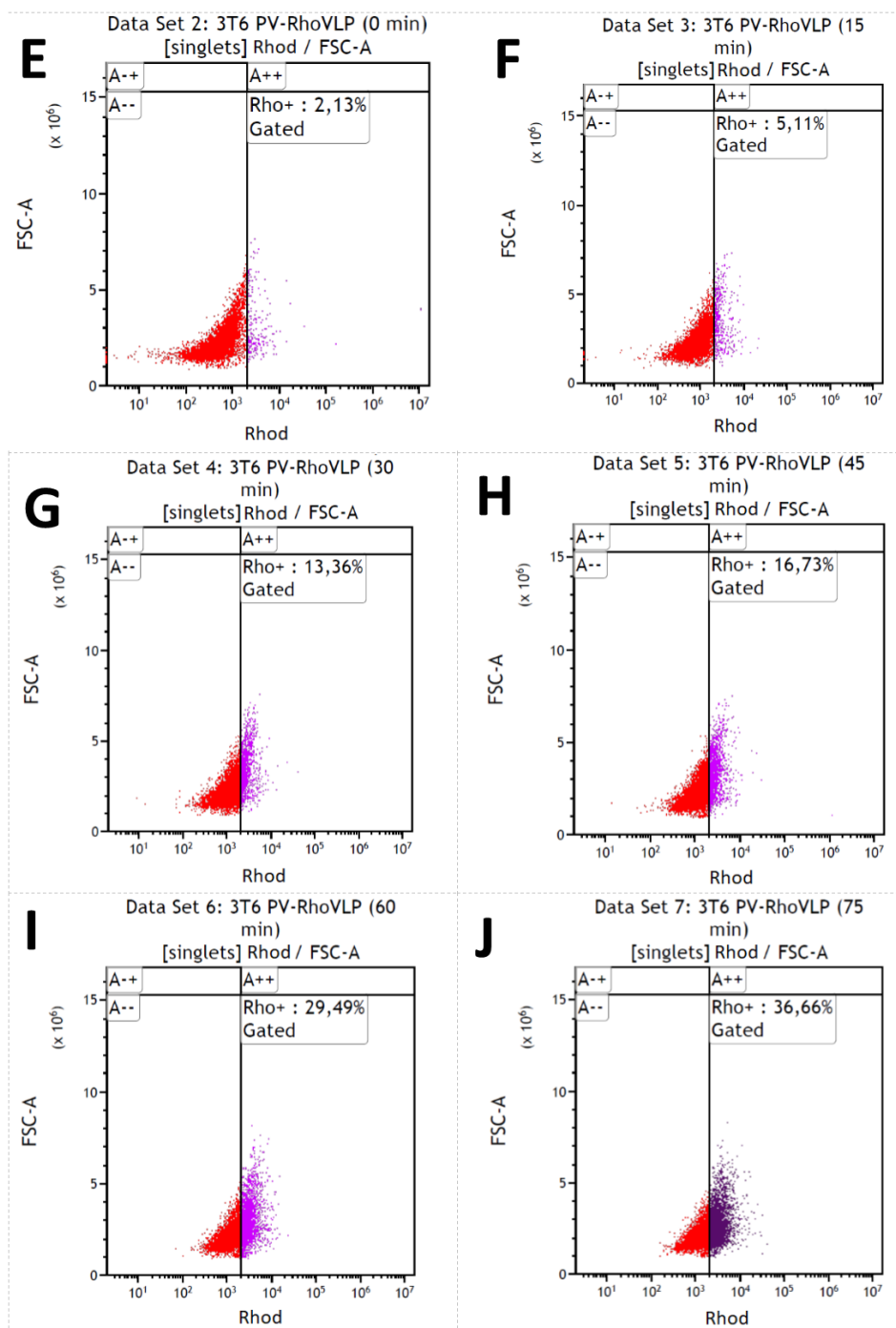
Charakterizace nanočástic odvozených od myšího papilomaviru

Bc. Petr Vomáčka



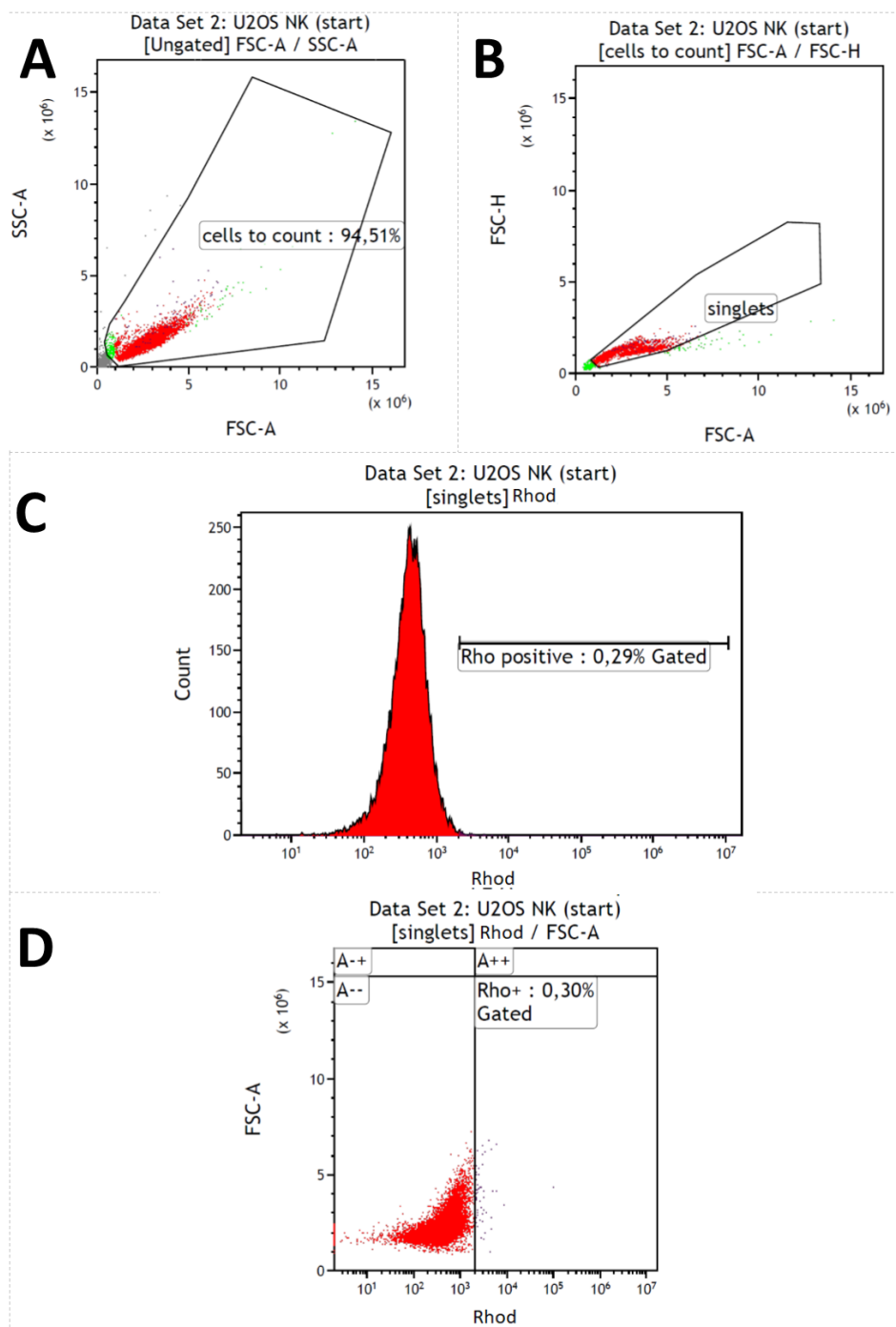
Obr. č. 1 – „Gatovací“ strategie pro analýzu vazby VLPs na buňky 3T6 – negativní kontrola

„Gatovací“ strategie a hodnoty Rhod pozitivních buněk bez přidání značených VLPs pro buňky 3T6, A - Nastavení „gatu“ pro vymezení buněk bez buněčné debris, B – vymezení populace jednotlivých buněk se stejnou morfologií tzn. „singlets“ a odstranění agregátů, C – měření autofluorescence buněk bez přidání částic – „background“, získané hodnoty byly ve finálním zpracování odečteny od naměřených hodnot u buněk s přidáním VLPs, D – dot plot zachycující pozitivitu měřených buněk na signál pro Rhodamin



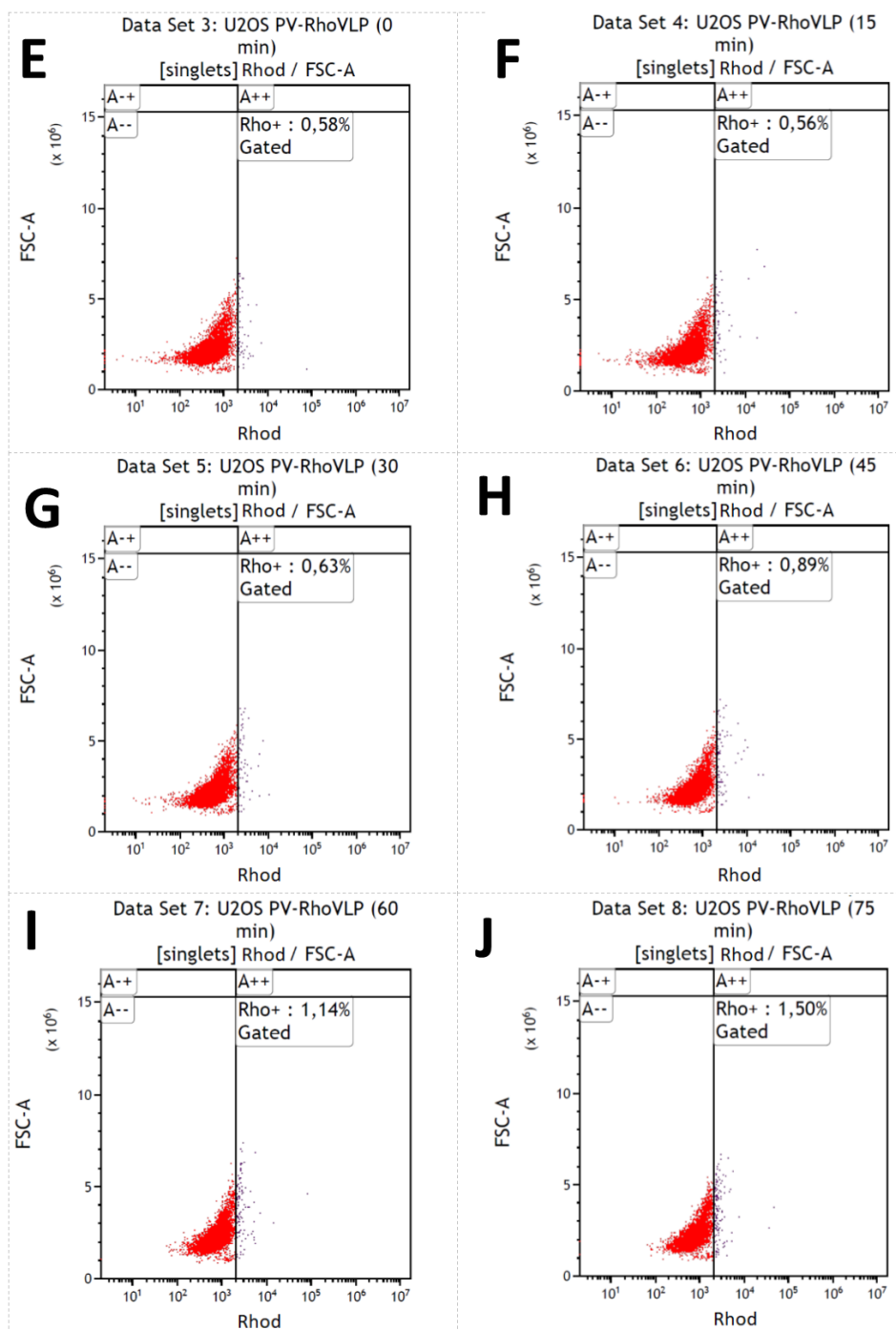
Obr. č. 2 – Pozitivita buněk 3T6 na přítomnost signálu pro Rhodamin – analýza vazby

Dle „gatovací“ strategie nastavené pro negativní buňky bez přidání VLPs značených Rhodaminem byla měřena míra vazby u buněk 3T6 v šesti cyklech po patnácti minutách, E – dot plot zachycující míru pozitivitu na Rhodamin v čase 0 min (hned po přidání částic), F – dot plot zachycující míru pozitivitu na Rhodamin v čase 15 min, G – dot plot zachycující míru pozitivitu na Rhodamin v čase 30 min, H - dot plot zachycující míru pozitivitu na Rhodamin v čase 45 min, I – dot plot zachycující míru pozitivitu na Rhodamin v čase 60 min, J – dot plot zachycující míru pozitivitu na Rhodamin v čase 75 min



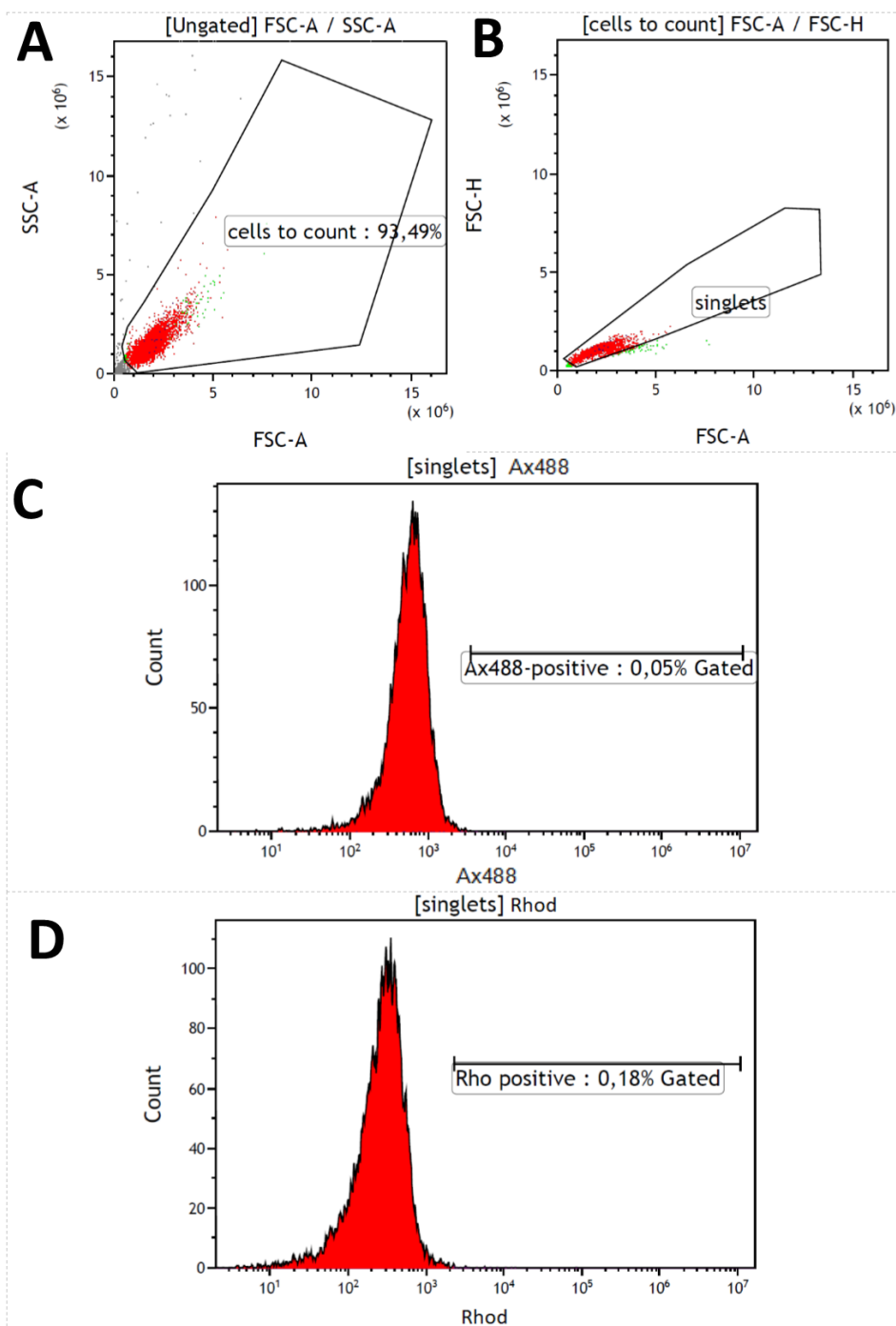
Obr. č. 3 – „Gatovací“ strategie pro analýzu vazby VLPs na buňky U2OS – negativní kontrola

„Gatovací“ strategie a hodnoty Rhod pozitivních buněk bez přidání značených VLPs pro buňky U2OS, A - Nastavení „gatu“ pro vymezení buněk bez buněčné debris, B – vymezení populace jednotlivých buněk se stejnou morfologií tzn. „singlets“ a odstranění agregátů, C – měření autofluorescence buněk bez přidání částic – „background“, získané hodnoty byly ve finálním zpracování odečteny od naměřených hodnot u buněk s přidáními VLPs, D – dot plot zachycující pozitivitu měřených buněk na signál pro Rhodamin



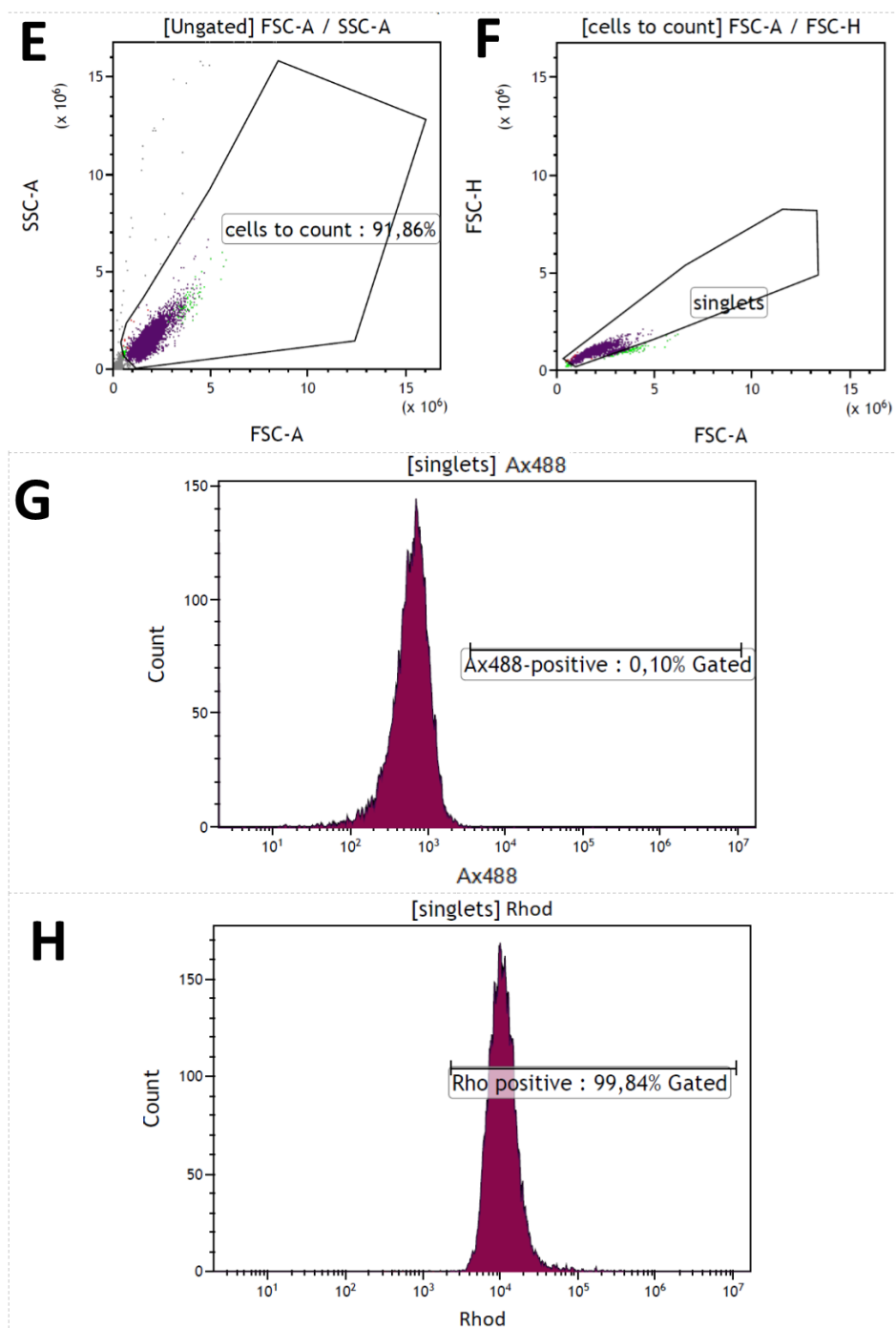
Obr. č. 4 – Pozitivita buněk U2OS na přítomnost signálu pro Rhodamin – analýza vazby

Dle „gatovací“ strategie nastavené pro negativní buňky bez přidání VLPs značených Rhodaminem byla měřena míra positivity u buněk U2OS v šesti cyklech po patnácti minutách, E – dot plot zachycující míru positivity na Rhodamin v čase 0 min (hned po přidání částic), F – dot plot zachycující míru positivity na Rhodamin v čase 15 min, G – dot plot zachycující míru positivity na Rhodamin v čase 30 min, H - dot plot zachycující míru positivity na Rhodamin v čase 45 min, I – dot plot zachycující míru positivity na Rhodamin v čase 60 min, J – dot plot zachycující míru positivity na Rhodamin v čase 75 min



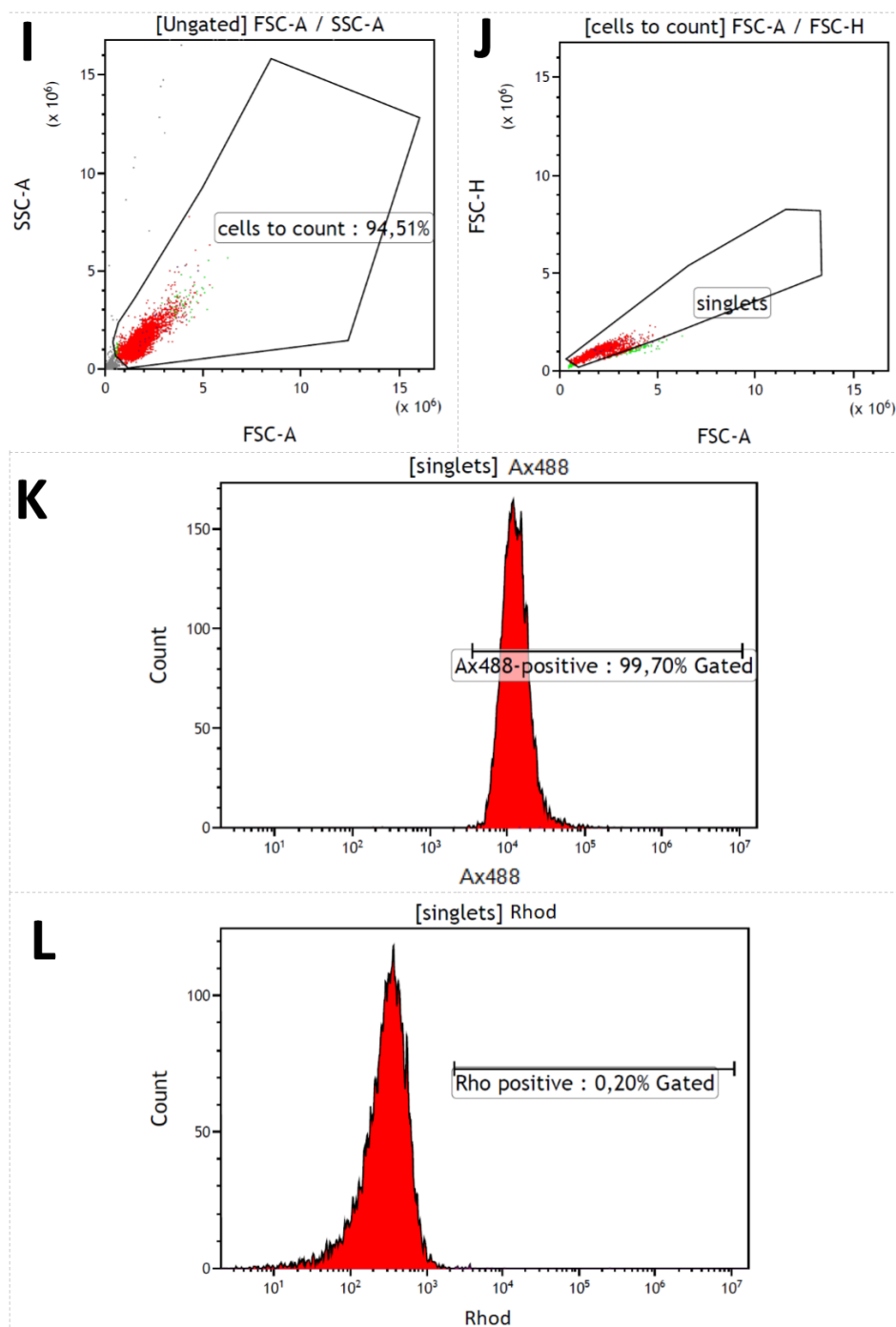
Obr. č. 5 – „Gatovací“ strategie pro analýzu internalizace značených částic u buněk U2OS – negativní kontrola

„Gatovací“ strategie a hodnoty Ax488 a Rhod pozitivních buněk bez přidání značených VLPs pro buňky U2OS, A - nastavení „gatu“ pro vymezení buněk bez buněčné debris, B – vymezení populace jednotlivých buněk se stejnou morfologií tzn. „singlets“ a odstranění agregátů, C – měření autofluorescence buněk pro signál Ax488 a D – měření autofluorescence buněk pro signál Rhod, bez přidání částic – „background“, získané hodnoty byly ve finálním zpracování odečteny od naměřených hodnot u buněk s přidáním VLPs



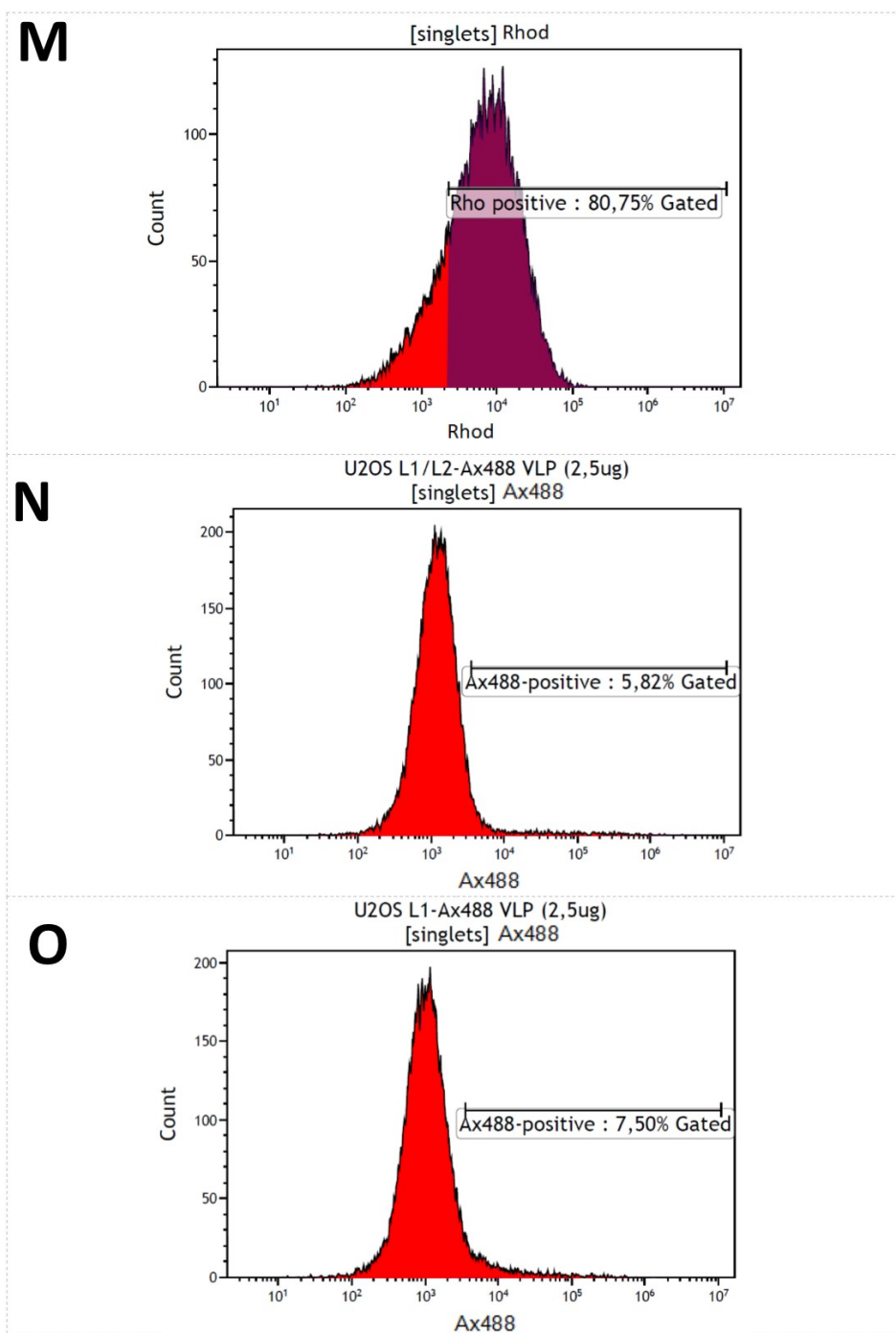
Obr. č. 6 – „Gatovací“ strategie pro analýzu internalizace značených částic u buněk U2OS – pozitivní kontrola – po přidání Rhodaminu

„Gatovací“ strategie a hodnoty Ax488 a Rhod pozitivních buněk bez přidání značených VLPs pro buňky U2OS po přidání Rhod, E - nastavení „gatu“ pro vymezení buněk bez buněčné debris, F – vymezení populace jednotlivých buněk se stejnou morfologií tzn. „singlets“ a odstranění agregátů, G – měření fluorescence buněk pro signál Ax488 a H – měření fluorescence buněk pro signál Rhod



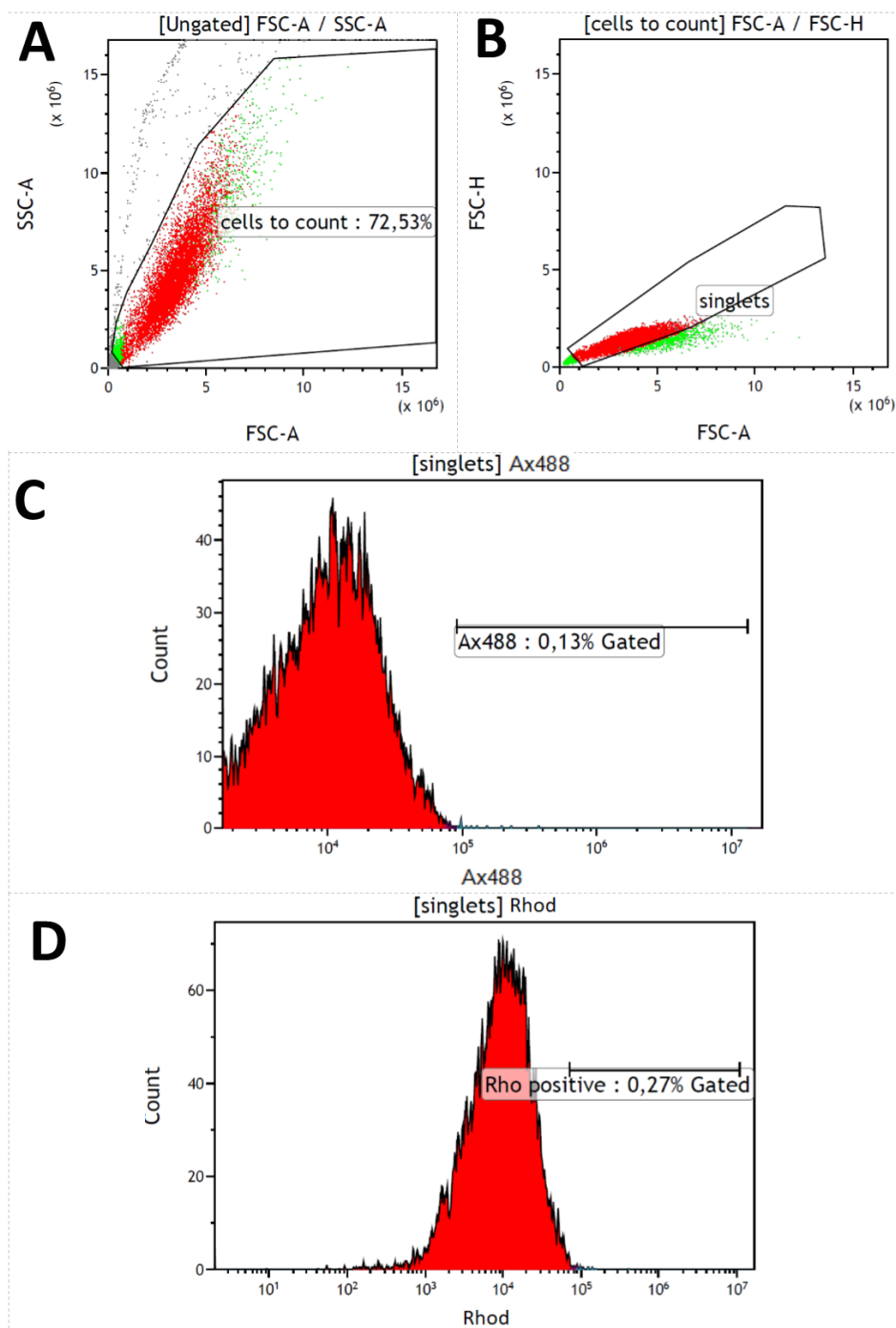
Obr. č. 7 – „Gatovací“ strategie pro analýzu internalizace značených částic u buněk U2OS – pozitivní kontrola – po přidání Alexa Fluor 488

„Gatovací“ strategie a hodnoty Ax488 a Rhod pozitivních buněk bez přidání značených VLPs pro buňky U2OS po přidání Ax488, I - nastavení „gatu“ pro vymezení buněk bez buněčné debris, J – vymezení populace jednotlivých buněk se stejnou morfologií tzn. „singlets“ a odstranění agregátů, K – měření fluorescence buněk pro signál Ax488 a L – měření fluorescence buněk pro signál Rhod



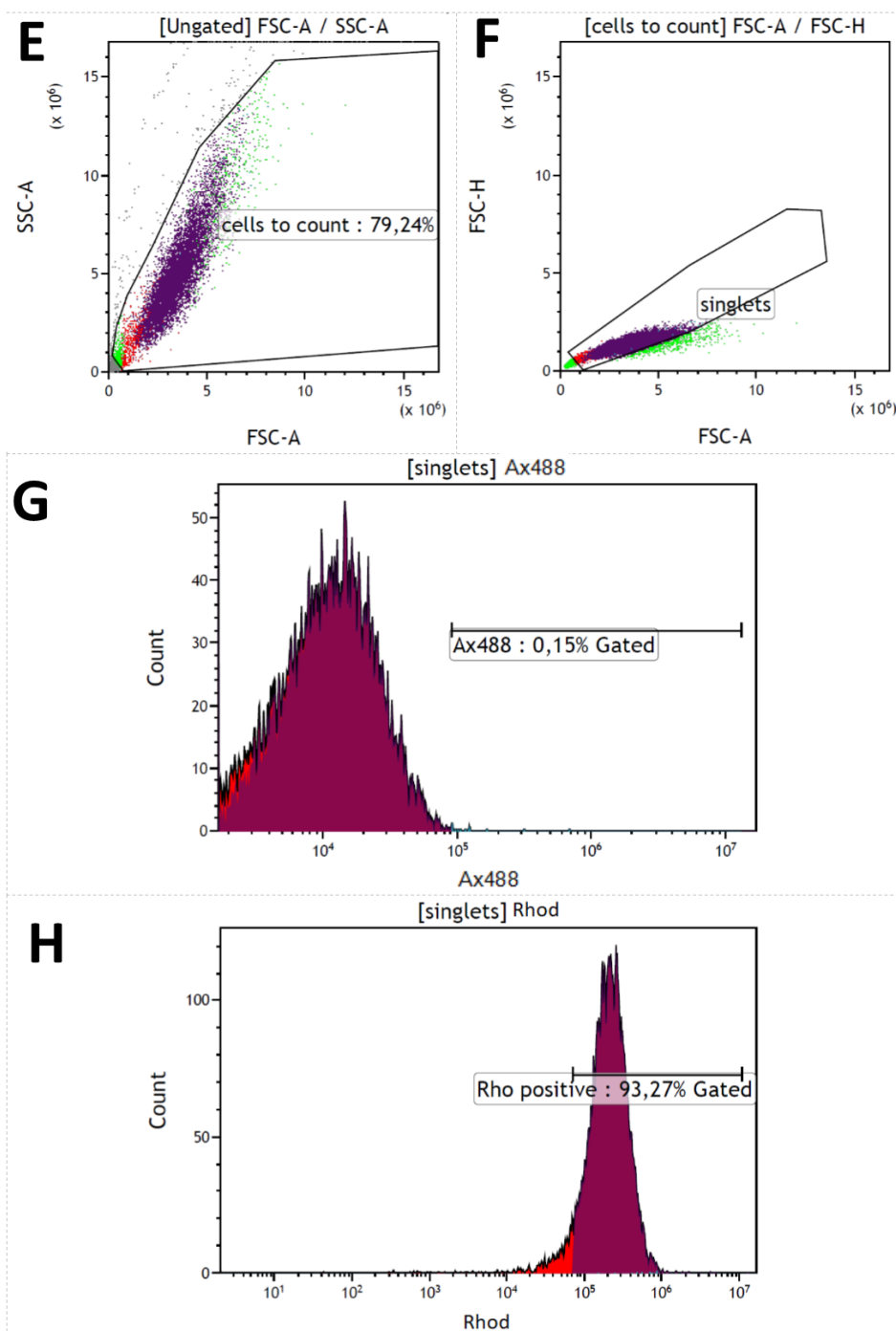
Obr. č. 8 – Míra internalizace VLPs značených pomocí Rhod a Ax488 u buněk U2OS

Dle „gatovací“ strategie nastavené pro negativní buňky bez přidaných VLPs byla měřena míra internalizace značených VLPs (Rhod – L1/L2, Ax488 – L1 a L1/L2) u buněk U2OS, M – míra internalizace L1/L2 částic značených pomocí Rhod, N – míra internalizace L1/L2 částic značených pomocí Ax488, O – míra internalizace L1 částic značených pomocí Ax488



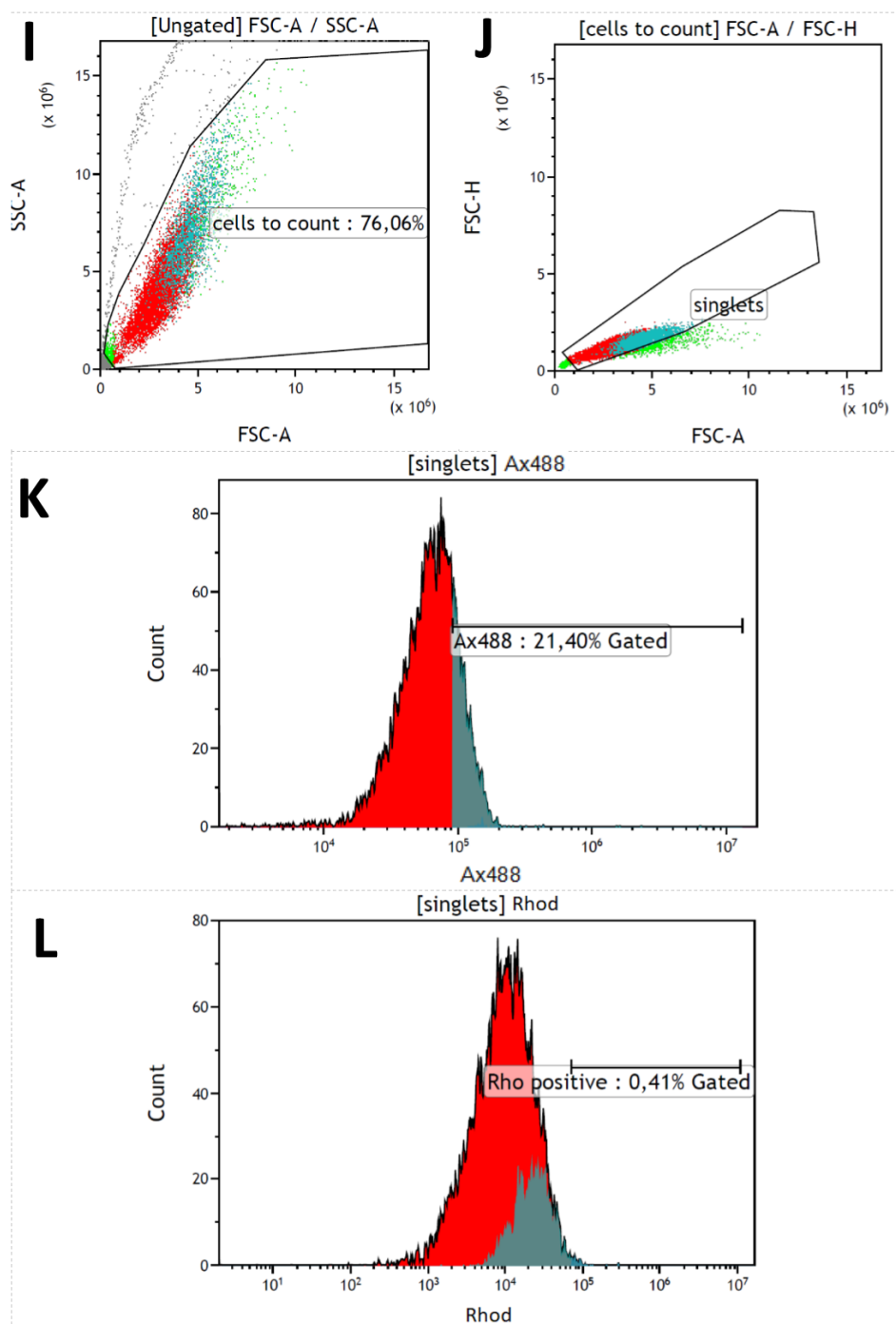
Obr. č. 9 – „Gatovací“ strategie pro analýzu internalizace značených částic u buněk NDHF – negativní kontrola

„Gatovací“ strategie a hodnoty Ax488 a Rhod pozitivních buněk bez přidání značených VLPs pro buňky NDHF, A - nastavení „gatu“ pro vymezení buněk bez buněčné debris, B – vymezení populace jednotlivých buněk se stejnou morfologií tzn. „singlets“ a odstranění agregátů, C – měření autofluorescence buněk pro signál Ax488 a D – měření autofluorescence buněk pro signál Rhod, bez přidání částic – „background“, získané hodnoty byly ve finálním zpracování odečteny od naměřených hodnot u buněk s přidáním VLPs



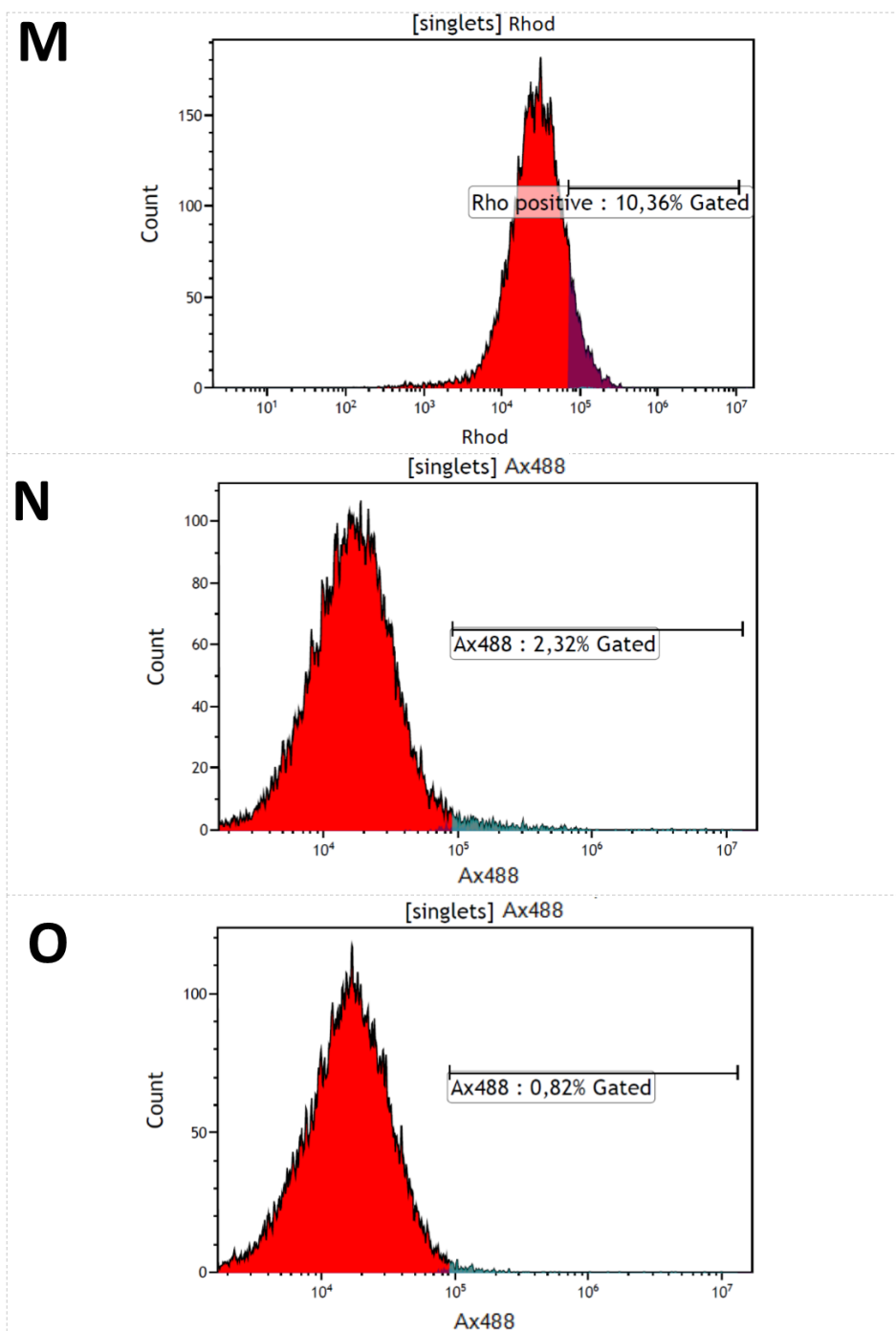
Obr. č. 10 – „Gatovací“ strategie pro analýzu internalizace značených částic u buněk NDHF – pozitivní kontrola – po přidání Rhodaminu

„Gatovací“ strategie a hodnoty Ax488 a Rhod pozitivních buněk bez přidání značených VLPs pro buňky NDHF po přidání Rhod, E - nastavení „gatu“ pro vymezení buněk bez buněčné debris, F – vymezení populace jednotlivých buněk se stejnou morfologií tzn. „singlets“ a odstranění agregátů, G – měření fluorescence buněk pro signál Ax488 a H – měření fluorescence buněk pro signál Rhod



Obr. č. 11 – „Gatovací“ strategie pro analýzu internalizace značených částic u buněk NDHF – pozitivní kontrola – po přidání Alexa Fluor 488

„Gatovací“ strategie a hodnoty Ax488 a Rhod pozitivních buněk bez přidání značených VLPs pro buňky NDHF po přidání Ax488, I - nastavení „gatu“ pro vymezení buněk bez buněčné debris, J – vymezení populace jednotlivých buněk se stejnou morfologií tzn. „singlets“ a odstranění agregátů, K – měření fluorescence buněk pro signál Ax488 a L – měření fluorescence buněk pro signál Rhod



Obr. č. 12 – Míra internalizace VLPs značených pomocí Rhod a Ax488 u buněk NDHF

Dle „gatovací“ strategie nastavené pro negativní buňky bez přidání VLPs byla měřena míra internalizace značených VLPs (Rhod – L1/L2, Ax488 – L1 a L1/L2) u buněk NDHF, M – míra internalizace L1/L2 částic značených pomocí Rhod, N – míra internalizace L1/L2 částic značených pomocí Ax488, O – míra internalizace L1 částic značených pomocí Ax488